

第六章 离散时间信号与系统 的傅里叶分析

缩写注释

- CFS(The continuous Fourier series):连续时间傅立叶级数
- DFS(The discrete Fourier series):离散时间傅立叶级数
- CTFT(The continuous time Fourier transforms): 连续时间傅立叶变换
- DTFT(The discrete time Fourier transforms): 离散时间傅立叶变换
- DFT(Discrete Fourier transforms):离散傅立叶变换---FFT

6.1 引言

- 本章将采用与讨论CTFT完全相同的思想方法，来研究离散时间非周期信号的频域分解问题。
- 相应的DTFT与CTFT既有许多相类似的地方，也同时存在一些重要区别

DFS与CFS之间既有许多类似之处，也有一些重大差别：主要是DFS是一个有限项级数，具有周期性。

连续时间傅里叶级数（CFS）

周期信号 $x(t)$ 可以表示为傅里叶级数

$$x(t) = \sum_{k=-\infty}^{\infty} a_k e^{jk\omega_0 t} \quad \omega_0 = \frac{2\pi}{T}$$

$$a_k = \frac{1}{T} \int_T x(t) e^{-jk\omega_0 t} dt \quad a_0 = \frac{1}{T} \int_T x(t) dt$$

离散时间傅里叶级数 (DFS)

考察成谐波关系的复指数信号集： $\Phi_k(n) = \{e^{j\frac{2\pi}{N}kn}\}$

该信号集中每一个信号都以 N 为周期，且该集合中只有 N 个信号是彼此独立的。

将这 N 个独立的信号线性组合起来，一定能表示一个以 N 为周期的序列。即：

$$x(n) = \sum_{k=\langle N \rangle} a_k e^{j\frac{2\pi}{N}kn} \quad \text{其中 } k \text{ 为 } N \text{ 个相连的整数}$$

这个级数就称为离散时间傅里叶级数 (DFS)，其中 a_k 也称为周期信号 $x(n)$ 的频谱。

二. 傅里叶级数系数的确定

给 $x(n) = \sum_{k=\langle N \rangle} a_k e^{j\frac{2\pi}{N}kn}$ 两边同乘以 $e^{-j\frac{2\pi}{N}rn}$, 得

$$x(n)e^{-j\frac{2\pi}{N}rn} = \sum_{k=\langle N \rangle} a_k e^{j\frac{2\pi}{N}(k-r)n}$$

显然 $x(n)e^{-j\frac{2\pi}{N}rn}$ 仍是以 N 为周期的

$$\sum_{n=\langle N \rangle} x(n)e^{-j\frac{2\pi}{N}rn} = \sum_{n=\langle N \rangle} \sum_{k=\langle N \rangle} a_k e^{j\frac{2\pi}{N}(k-r)n} = \sum_{k=\langle N \rangle} a_k \sum_{n=\langle N \rangle} e^{j\frac{2\pi}{N}(k-r)n}$$

$$\text{而 } \sum_{n=\langle N \rangle} e^{j\frac{2\pi}{N}(k-r)n} = \sum_{n=0}^{N-1} e^{j\frac{2\pi}{N}(k-r)n} = \frac{1 - e^{j(k-r) \cdot 2\pi}}{1 - e^{j(k-r)\frac{2\pi}{N}}} = \begin{cases} 0, & k \neq r \\ N, & k = r \end{cases}$$

$$\therefore \sum_{n=\langle N \rangle} x(n)e^{-j\frac{2\pi}{N}rn} = Na_r$$

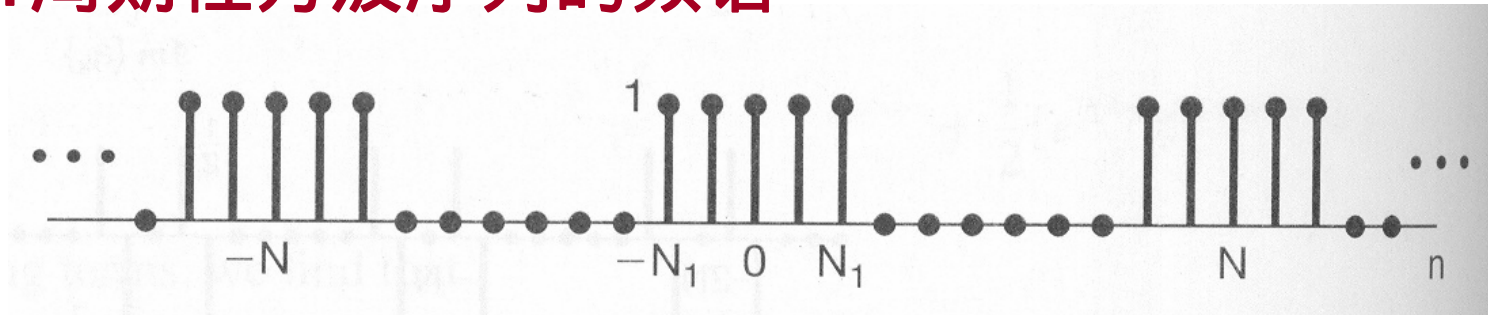
即
$$a_r = \frac{1}{N} \sum_{n=\langle N \rangle} x(n) e^{-j \frac{2\pi}{N} rn}$$

或
$$a_k = \frac{1}{N} \sum_{n=\langle N \rangle} x(n) e^{-j \frac{2\pi}{N} kn}$$

显然上式满足 $a_{k+N} = a_k$ 即 a_k 也是以 N 为周期的，或者说 a_k 中只有 N 个是独立的。

DFS
$$\left\{ \begin{array}{l} x(n) = \sum_{k=\langle N \rangle} a_k e^{j \frac{2\pi}{N} kn} \\ a_k = \frac{1}{N} \sum_{n=\langle N \rangle} x(n) e^{-j \frac{2\pi}{N} kn} \end{array} \right.$$

三.周期性方波序列的频谱



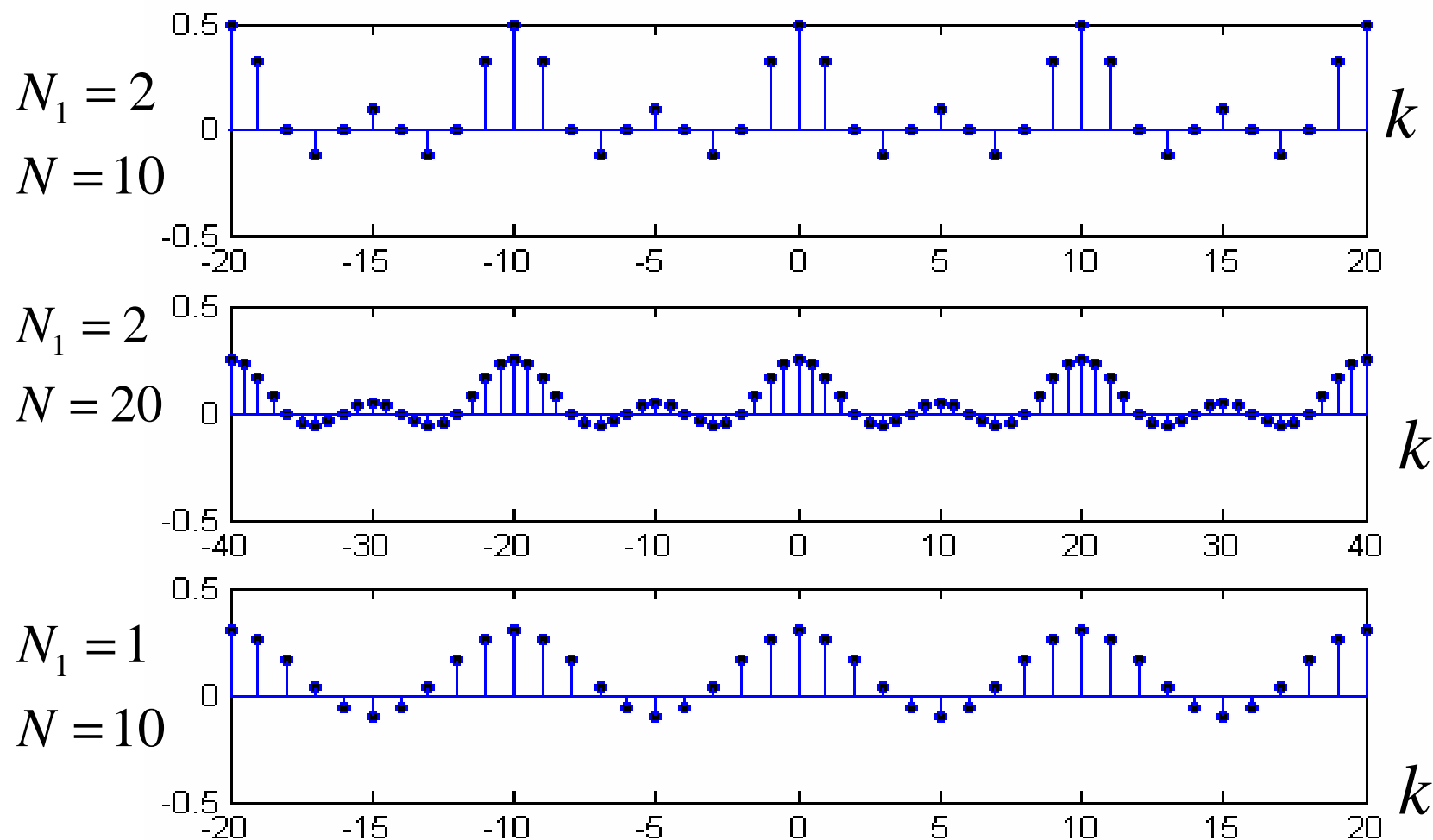
$$\begin{aligned}
 a_k &= \frac{1}{N} \sum_{n=-N_1}^{N_1} e^{-j\frac{2\pi}{N}kn} = \frac{1}{N} \frac{e^{j\frac{2\pi}{N}kN_1} - e^{-j\frac{2\pi}{N}k(N_1+1)}}{1 - e^{-j\frac{2\pi}{N}k}} \\
 &= \frac{1}{N} \frac{e^{-j\frac{\pi}{N}k} \left[e^{j\frac{2\pi}{N}k(N_1 + \frac{1}{2})} - e^{-j\frac{2\pi}{N}k(N_1 + \frac{1}{2})} \right]}{e^{-j\frac{\pi}{N}k} \left[e^{j\frac{\pi}{N}k} - e^{-j\frac{\pi}{N}k} \right]}
 \end{aligned}$$

$$= \frac{1}{N} \frac{\sin \frac{\pi}{N} k (2N_1 + 1)}{\sin \frac{\pi}{N} k} \quad k \neq 0, \pm N, \pm 2N, \dots$$

$$a_k = \frac{2N_1 + 1}{N} \quad k = rN \text{ 时}$$

显然 a_k 的包络具有 $\frac{\sin \beta x}{\sin x}$ 的形状。

周期性方波序列的频谱



◆ 当 N_1 不变、 $N \uparrow$ 时，频谱的包络形状不变，只是幅度减小，谱线间隔变小。

◆ 当 N_1 改变、 N 不变时，由于 a_k 的包络具有 $\frac{\sin \beta x}{\sin x}$ 的形状，而 $\beta = 2N_1 + 1$ ，可知其包络形状一定发生变化。当 $N_1 \downarrow$ 时，包络的第一个零点会远离原点从而使频谱主瓣变宽。这一点也与连续时间周期矩形脉冲的情况类似。

周期序列的频谱也具有离散性、谐波性，当在区间 $-\pi \sim \pi$ 考查时，也具有收敛性。不同的是，离散时间周期信号的频谱具有周期性。

6.2 离散时间傅里叶变换

一. 从DFS到DTFT:

让我们先来观察周期性矩形脉冲信号，取其周期 $N=10$ 、20与40时，其频谱的变化情况如下图所示。

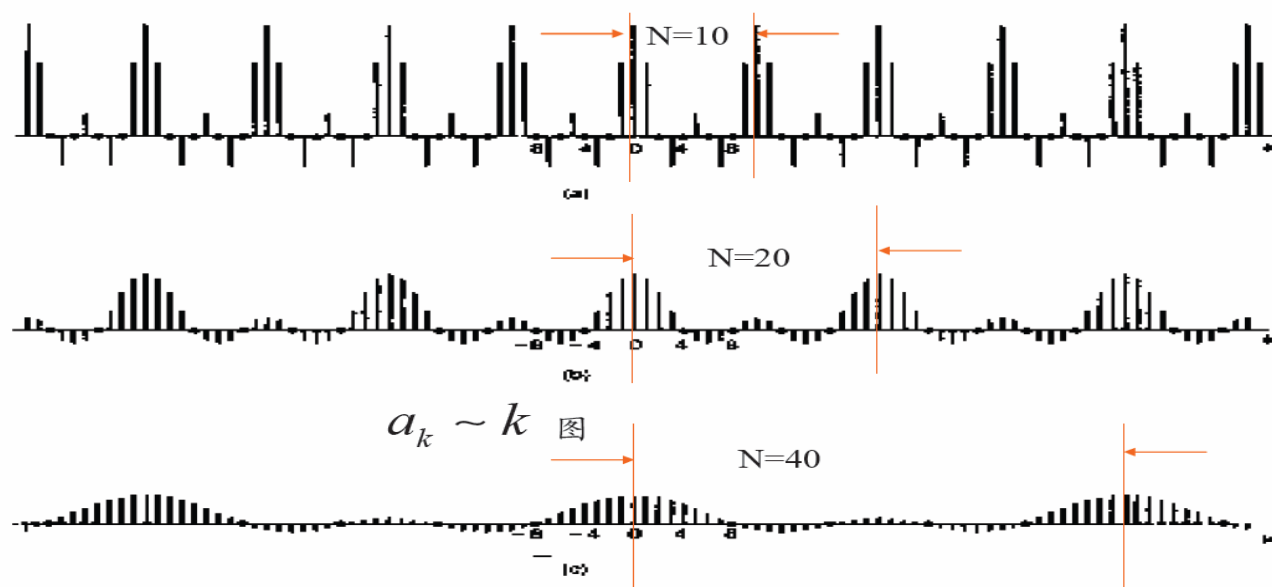


图 3.17 例 3.12 周期方波序列的傅里叶级数系数。图中 $N a_k$ 是在 $2N_1 + 1 = 5$ 和分别对三种 N 值下画出的：
(a) $N = 10$; (b) $N = 20$; (c) $N = 40$

在讨论离散时间周期性矩形脉冲信号的频谱时，我们看到：当信号周期 N 增大时，频谱的包络形状不变，幅度减小，而频谱的谱线变密。

当 $N \rightarrow \infty$ 时，有 $\omega_0 = (2\pi/N) \rightarrow 0$ ，而从时域看，当周期信号的周期 $N \rightarrow \infty$ 时，就变成了一个非周期的序列。

回顾：连续时间信号

$$x(t) = \sum_{k=-\infty}^{\infty} a_k e^{jk\omega_0 t}$$

$$a_k = \frac{1}{T} \int_T x(t) e^{-jk\omega_0 t} dt$$

$$T_0 a_k = \int_{-T_0/2}^{T_0/2} \tilde{x}(t) e^{-jk\omega_0 t} dt$$

$$X(j\omega) = \int_{-\infty}^{\infty} x(t) e^{-j\omega t} dt$$

$$x(t) = \frac{1}{2\pi} \int_{-\infty}^{\infty} X(j\omega) e^{j\omega t} d\omega$$

对周期信号 $\tilde{x}(n)$ 由DFS有

$$\tilde{x}(n) = \sum_{n=\langle k \rangle} a_k e^{jk(\frac{2\pi}{N})n} \quad a_k = \frac{1}{N} \sum_{n=\langle N \rangle} \tilde{x}(n) e^{-jk(\frac{2\pi}{N})n}$$

即

$$a_k = \frac{1}{N} \sum_{n=-N/2}^{N/2} \tilde{x}(n) e^{-j\frac{2\pi}{N}kn}$$

当 $N \rightarrow \infty$ 时 $\frac{2\pi}{N}k \rightarrow \omega$, 令 $\lim_{N \rightarrow \infty} Na_k \triangleq X(e^{j\omega})$

有:

$$X(e^{j\omega}) = \sum_{n=-\infty}^{\infty} x(n) e^{-j\omega n} \text{—— DTFT}$$

说明: 显然 $X(e^{j\omega})$ 对 ω 是以 2π 为周期的。

将其与 a_k 表达式比较有

$$a_k = \frac{1}{N} X(e^{j\omega}) \Big|_{\omega = \frac{2\pi}{N}k}$$

于是：

$$\begin{aligned}\tilde{x}(n) &= \frac{1}{N} \sum_{k=\langle N \rangle} X(e^{jk\omega_0}) \cdot e^{jk\omega_0 n}, \quad \omega_0 = \frac{2\pi}{N} \\ &= \frac{1}{2\pi} \sum_{k=\langle N \rangle} X(e^{jk\omega_0}) \cdot e^{jk\omega_0 n} \cdot \omega_0\end{aligned}$$

当 $N \rightarrow \infty$ 时, $\tilde{x}(n) \rightarrow x(n)$, $k\omega_0 \rightarrow \omega$, $\omega_0 \rightarrow d\omega$, $\sum \rightarrow \int$,

当 k 在一个周期范围内变化时, $k\omega_0$ 在 2π 范围变化, 所以积分区间是 2π 。

$$\therefore x(n) = \frac{1}{2\pi} \int_{-\pi}^{\pi} X(e^{j\omega}) e^{j\omega n} d\omega$$

表明:离散时间序列可以分解为频率在 $[-\pi, \pi]$ 区间上分布的、幅度为 $\frac{1}{2\pi} X(e^{j\omega}) d\omega$ 的复指数分量的线性组合。

结论：

$$x(n) = \frac{1}{2\pi} \int_{-\pi}^{\pi} X(e^{j\omega}) e^{j\omega n} d\omega$$

$$X(e^{j\omega}) = \sum_{n=-\infty}^{\infty} x(n) e^{-j\omega n}$$

DTFT

对

二. DTFT的收敛问题

当 $x(n)$ 是无限长序列时，由于 $X(e^{j\omega})$ 的表达式是无穷项级数，当然会存在收敛问题。

收敛条件有两组：

1. $\sum_{n=-\infty}^{\infty} |x(n)| < \infty$ ，则级数以均方误差最小的准则

收敛于 $X(e^{j\omega})$ 。

2. $\sum_{n=-\infty}^{\infty} |x(n)| < \infty$ ，则 $X(e^{j\omega})$ 存在，且级数一致收敛

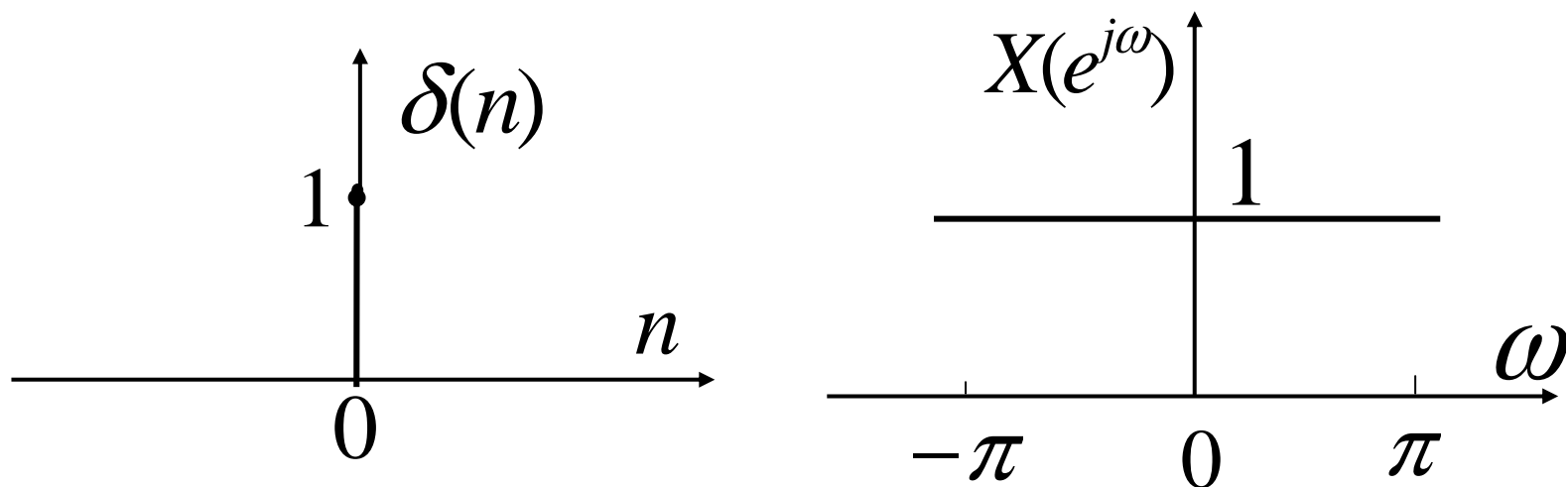
于 $X(e^{j\omega})$ 。

三. 常用信号的离散时间傅立叶变换

1. $x(n) = \delta(n)$

$$X(e^{j\omega}) = \sum_{n=-\infty}^{\infty} x(n)e^{-j\omega n} = 1$$

如图所示:



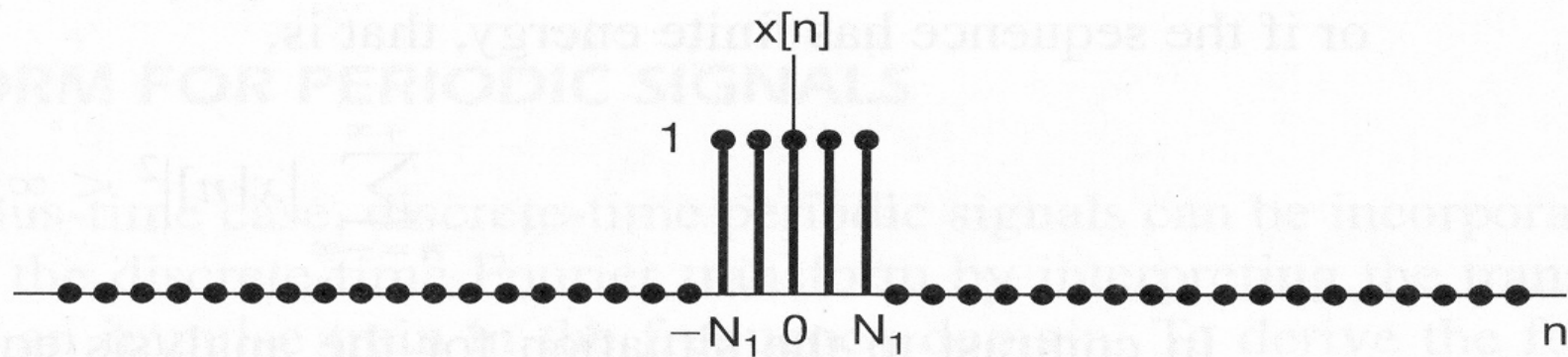
$$DTFT[\delta(n - n_0)] = \sum_{n=-\infty}^{\infty} \delta(n - n_0)e^{-j\omega n} = e^{-j\omega n_0}$$

2.矩形脉冲:

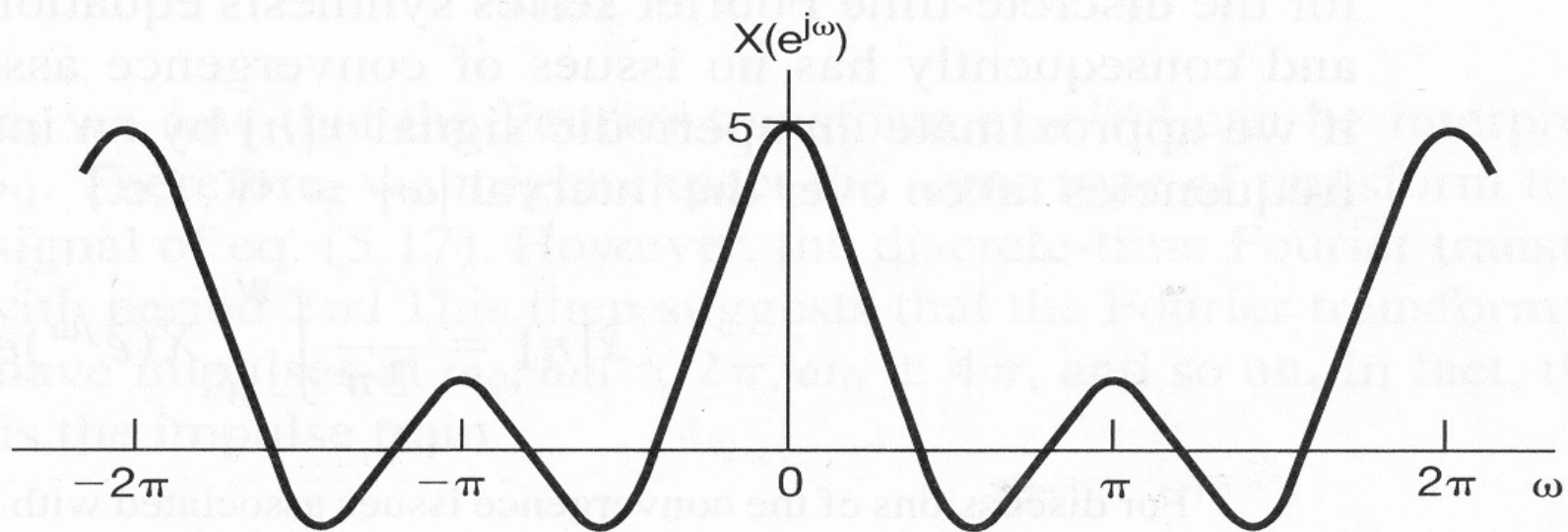
$$x(n) = \begin{cases} 1, & |n| \leq N_1 \\ 0, & |n| > N_1 \end{cases}$$

$$X(e^{j\omega}) = \sum_{n=-N_1}^{N_1} e^{-j\omega n} = \frac{\sin(2N_1 + 1)\frac{\omega}{2}}{\sin\frac{\omega}{2}}$$

当 $N_1=2$ 时，可得到：



(a)



(b)

两点比较:

1. 与对应的周期信号比较

$$X(e^{j\omega}) = \frac{\sin(2N_1 + 1)\frac{\omega}{2}}{\sin\frac{\omega}{2}}$$

$$a_k = \frac{1}{N} \frac{\sin\frac{\pi}{N}k(2N_1 + 1)}{\sin\frac{\pi}{N}k},$$

显然有

$$a_k = \frac{1}{N} X(e^{j\omega}) \Big|_{\omega = \frac{2\pi}{N}k}$$

关系成立

周期信号的频谱是对应的非周期信号频谱上的采样；

2. 与对应的连续时间信号比较

$$x(t) = \begin{cases} 1, & |t| < T_1 \\ 0, & |t| > T_1 \end{cases} \quad X(j\omega) = \frac{2T_1 \sin \omega T_1}{\omega T_1}$$

如图所示：



连续非周期信号的频谱是非周期性的，
而离散非周期信号的频谱是周期的

3.实指数序列

$$x(n) = a^n u(n), \quad |a| < 1$$

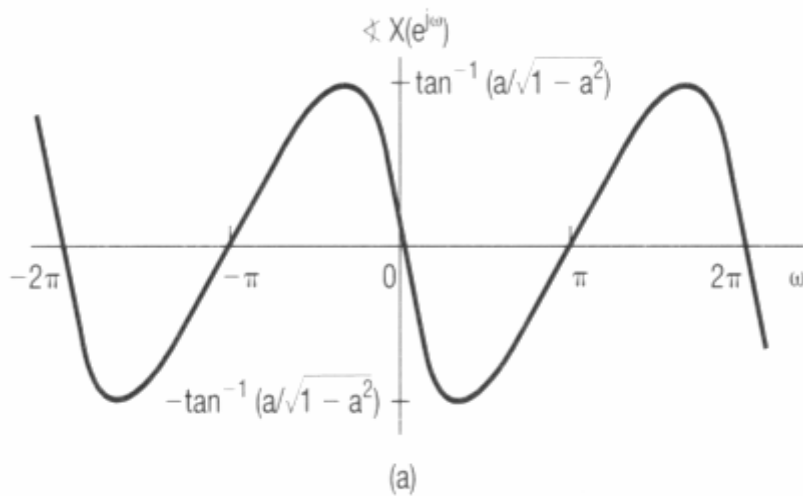
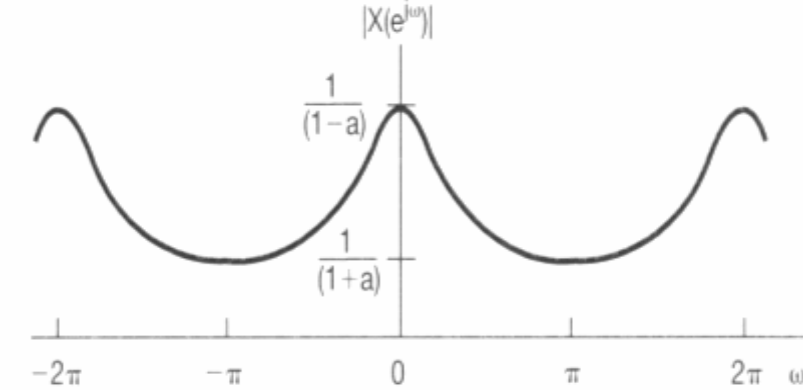
$$X(e^{j\omega}) = \sum_{n=0}^{\infty} a^n e^{-j\omega n} = \frac{1}{1 - ae^{-j\omega}}$$

通常 $X(e^{j\omega})$ 是复函数，用它的模和相位表示：

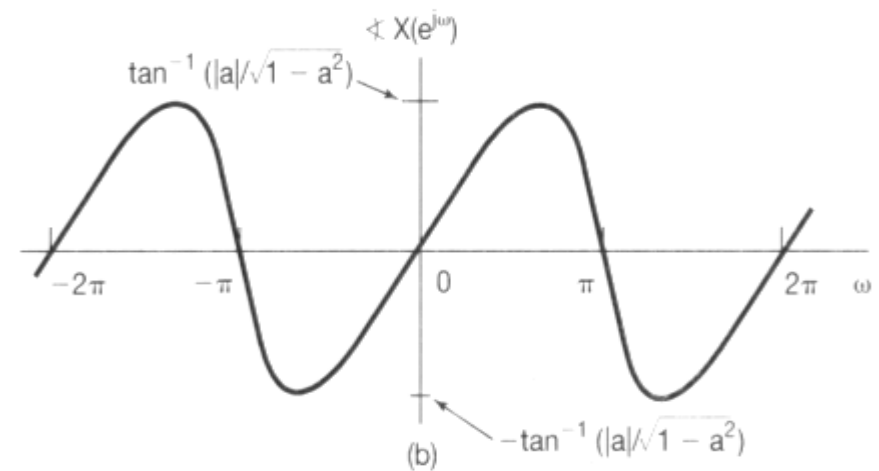
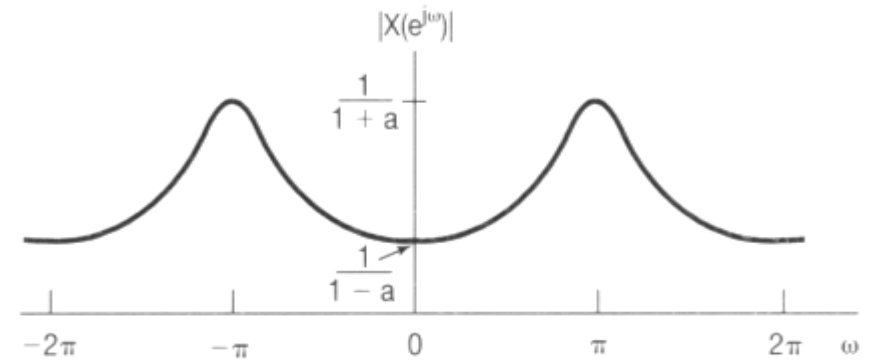
$$|X(e^{j\omega})| = \frac{1}{\sqrt{1 + a^2 - 2a \cos \omega}}$$

$$\angle X(e^{j\omega}) = -\operatorname{tg}^{-1} \frac{a \sin \omega}{1 - a \cos \omega}$$

$$0 < a < 1$$



$$-1 < a < 0$$



由图可以得到：

$0 < a < 1$ 时，低通特性， $x(n)$ 单调指数衰减

$-1 < a < 0$ 时，高通特性， $x(n)$ 摆动指数衰减

4.非因果实指数序列

$$x(n) = a^n u(-n), \quad |a| > 1$$

$$X(e^{j\omega}) = \sum_{n=-\infty}^0 a^n e^{-j\omega n}$$

$$\text{令 } n' = -n$$

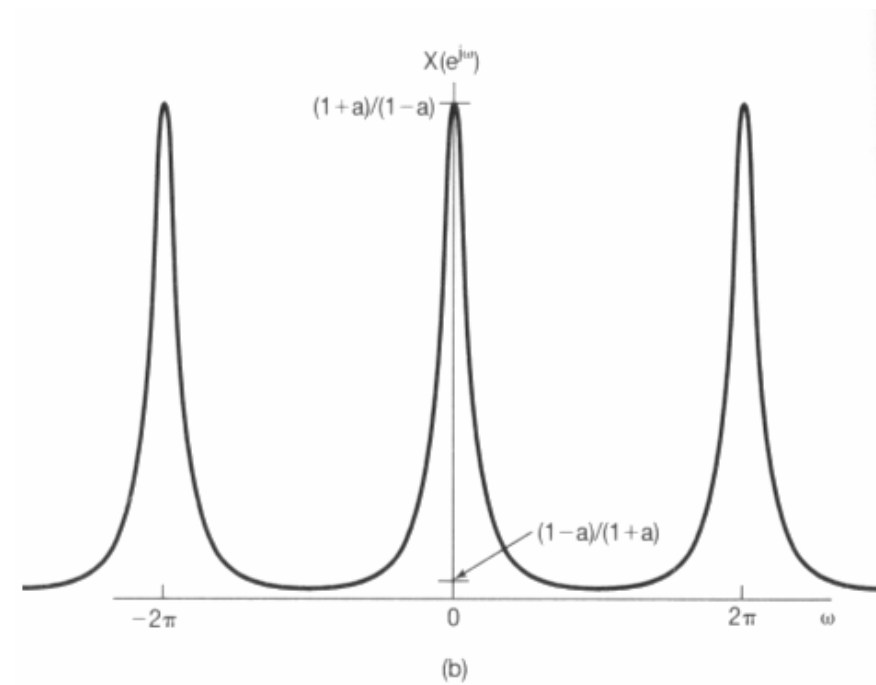
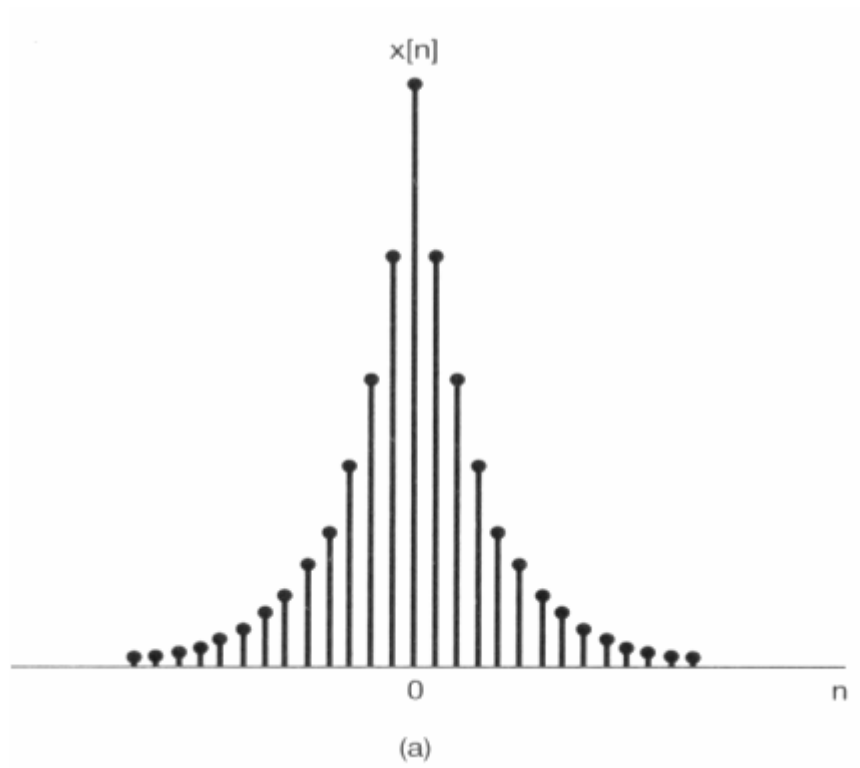
$$X(e^{j\omega}) = \sum_{n'=0}^{\infty} a^{-n'} e^{j\omega n'} = \frac{1}{1 - a^{-1} e^{j\omega}}$$

5. 双边指数序列

$$x(n) = a^{|n|}, \quad |a| < 1$$

$$x(n) = a^{-n}u(-n) + a^n u(n)$$

$$\begin{aligned} X(e^{j\omega}) &= \sum_{n=-\infty}^{-1} a^{-n} e^{-j\omega n} + \sum_{n=0}^{\infty} a^n e^{-j\omega n} = \sum_{n=1}^{\infty} a^n e^{j\omega n} + \sum_{n=0}^{\infty} a^n e^{-j\omega n} \\ &= \frac{ae^{j\omega}}{1 - ae^{j\omega}} + \frac{1}{1 - ae^{-j\omega}} = \frac{1 - a^2}{1 + a^2 - 2a \cos \omega} \end{aligned}$$



6. 常数序列

$$X(e^{j\omega}) = \sum_{k=-\infty}^{\infty} \delta(\omega - 2\pi k)$$

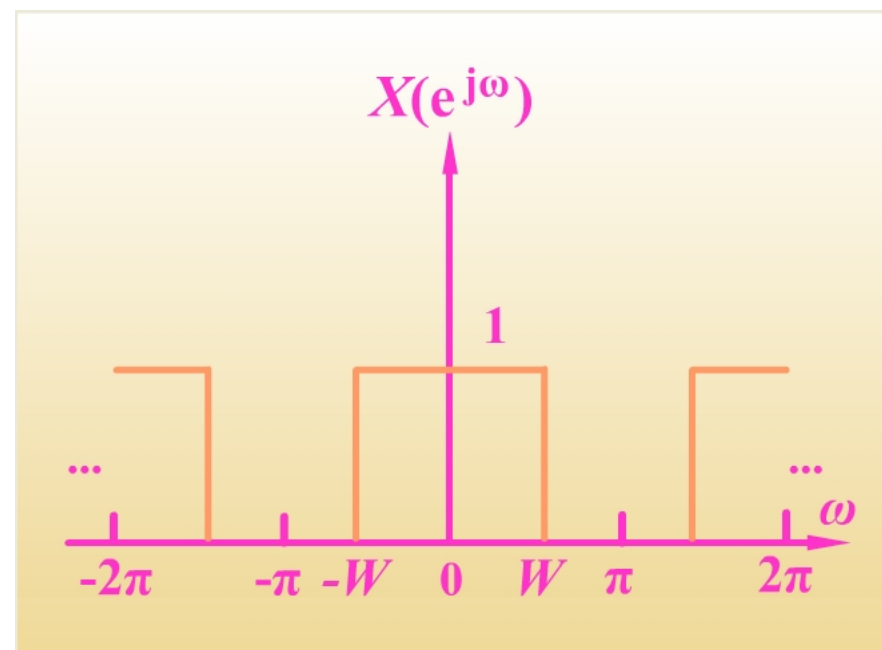
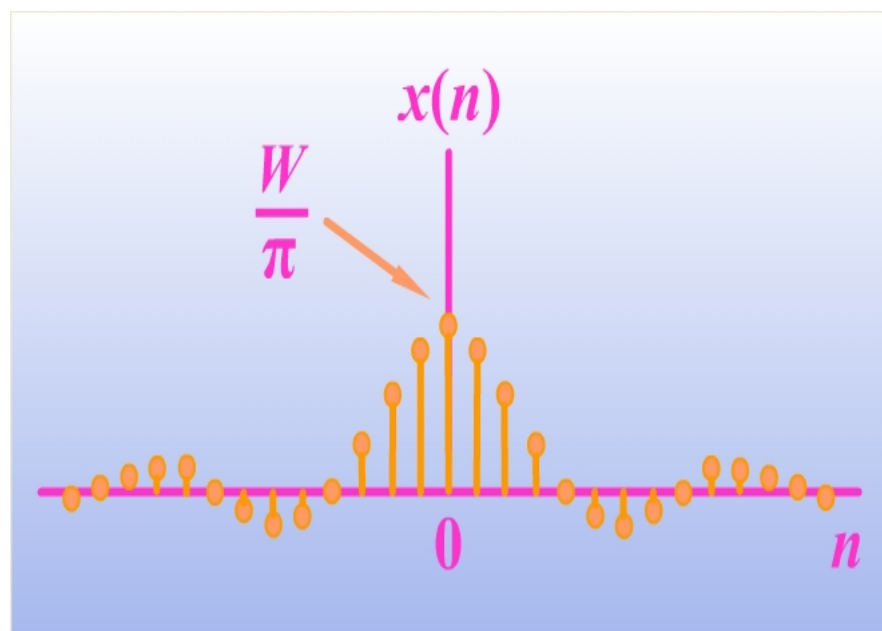
$$x(n) = \frac{1}{2\pi} \int_{-\pi}^{\pi} \delta(\omega) e^{j\omega n} d\omega = \frac{1}{2\pi}$$

$$x(n) = 1 \iff X(e^{j\omega}) = 2\pi \sum_{k=-\infty}^{+\infty} \delta(\omega - 2\pi k)$$

7. 频域矩形序列

$$X(e^{j\omega}) = \begin{cases} 1 & |\omega| < W \\ 0 & W < |\omega| < \pi \end{cases}$$

$$x(n) = \frac{\sin Wn}{\pi n}$$



四.周期信号的DTFT

对连续时间信号，有 $2\pi\delta(\omega - \omega_0) \leftrightarrow e^{j\omega_0 t}$ ，由此推断，对离散时间信号或许有相似的情况。但由于DTFT一定是以 2π 为周期的，因此，频域的冲激应该是周期性的冲激串，即

$$\sum_{k=-\infty}^{\infty} 2\pi\delta(\omega - \omega_0 - 2\pi k)$$

对其作反变换有：

$$\begin{aligned}
 x(n) &= \frac{1}{2\pi} \int_{-\pi}^{\pi} X(e^{j\omega}) e^{j\omega n} d\omega \\
 &= \int_0^{2\pi} \delta(\omega - \omega_0) e^{j\omega n} d\omega = e^{j\omega_0 n}
 \end{aligned}$$

可见, $\sum_{k=-\infty}^{\infty} 2\pi \delta(\omega - \omega_0 - 2\pi k) \leftrightarrow e^{j\omega_0 n}$

由DFS有 $\tilde{x}(n) = \sum_{n=\langle k \rangle} a_k e^{jk(\frac{2\pi}{N})n} \quad \omega_0 = k \frac{2\pi}{N}$

因此, 周期信号 $\tilde{x}(n)$ 可用DTFT表示为

$$\tilde{x}(n) \leftrightarrow X(e^{j\omega}) = \sum_{k=\langle N \rangle} a_k \sum_{l=-\infty}^{\infty} 2\pi \delta(\omega - \omega_0 - 2\pi l)$$

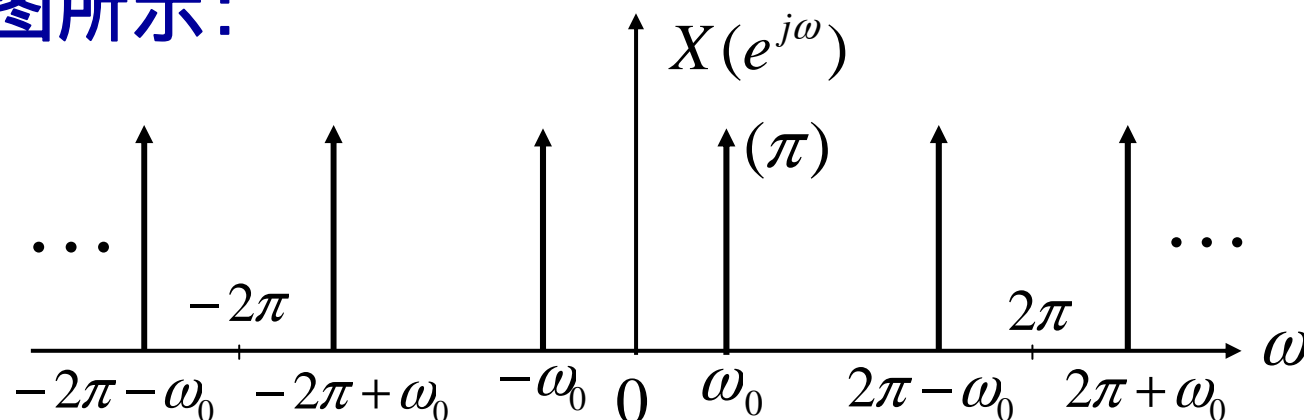
$$\begin{aligned}
X(e^{j\omega}) &= \sum_{l=-\infty}^{\infty} \sum_{k=\langle N \rangle} 2\pi a_k \delta(\omega - \frac{2\pi}{N}k - 2\pi l) \\
&= \cdots + \sum_{k=\langle N \rangle} 2\pi a_k \delta(\omega - \frac{2\pi}{N}k) + \sum_{k=\langle N \rangle} 2\pi a_k \delta(\omega - \frac{2\pi}{N}k - 2\pi) \\
&\quad + \sum_{k=\langle N \rangle} 2\pi a_k \delta(\omega - \frac{2\pi}{N}k - 4\pi) + \cdots \\
&= \cdots + \sum_{k=0}^{N-1} 2\pi a_k \delta(\omega - \frac{2\pi}{N}k) + \sum_{k=0}^{N-1} 2\pi a_k \delta\left[\omega - \frac{2\pi}{N}(k+N)\right] \\
&\quad + \sum_{k=0}^{N-1} 2\pi a_k \delta\left[\omega - \frac{2\pi}{N}(k+2N)\right] + \cdots \\
&= \cdots + \sum_{k=0}^{N-1} 2\pi a_k \delta(\omega - \frac{2\pi}{N}k) + \sum_{k=N}^{2N-1} 2\pi a_k \delta(\omega - \frac{2\pi}{N}k) + \sum_{k=2N}^{3N-1} 2\pi a_k \delta(\omega - \frac{2\pi}{N}k) + \cdots \\
&= 2\pi \sum_{k=-\infty}^{\infty} a_k \delta(\omega - \frac{2\pi}{N}k)
\end{aligned}$$

上式与连续时间傅立叶变换中的形式是完全一致的。

例1. $x(n) = \cos \omega_0 n = \frac{1}{2}(e^{j\omega_0 n} + e^{-j\omega_0 n})$, 它不一定是
周期的. 当 $\omega_0 = \frac{2\pi}{N}k$ 时才具有周期性。

$$X(e^{j\omega}) = \pi \sum_{k=-\infty}^{\infty} [\delta(\omega - \omega_0 - 2\pi k) + \delta(\omega + \omega_0 - 2\pi k)]$$

如图所示:

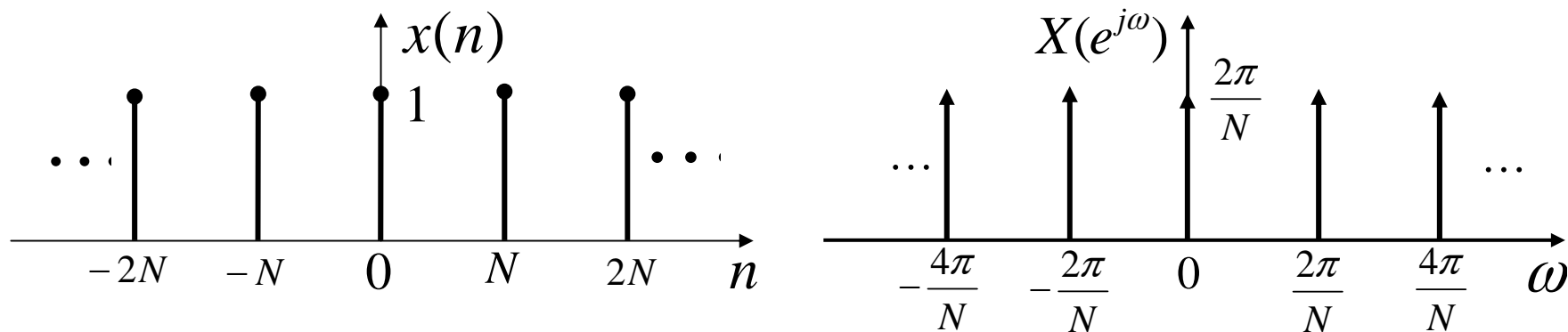


例2. $x(n) = \sum_{k=-\infty}^{\infty} \delta(n - kN)$ —— **均匀脉冲串**

$$a_k = \frac{1}{N} \sum_{n=-\infty}^{\infty} x(n) e^{-jk\omega_0 n} = \frac{1}{N} \sum_{n=0}^{N-1} \delta(n) e^{-jk\omega_0 n} = \frac{1}{N}$$

$$X(e^{j\omega}) = \frac{2\pi}{N} \sum_{k=-\infty}^{\infty} \delta(\omega - \frac{2\pi}{N} k)$$

比较: 与连续时间情况下对应的一致。



离散时间傅立叶变换对:

$$x[n] = \frac{1}{2\pi} \int_{2\pi} X(e^{j\omega}) e^{j\omega n} d\omega$$

因为在一个有限的积分区间上进行,
因此不存在收敛问题

$$X(e^{j\omega}) = \sum_{n=-\infty}^{\infty} x[n] e^{-j\omega n}$$

$\because e^{-j\omega n}$ 以 2π 为周期

$\therefore x(e^{j\omega})$ 也是周期的

$$a^n u[n] \xleftrightarrow{F} \frac{1}{1 - ae^{-j\omega}}$$

周期信号的傅立叶变换:

$$1 \xleftrightarrow{F} 2\pi \sum_{k=-\infty}^{\infty} \delta(\omega - 2\pi k)$$

$$e^{j\omega_0 n} \xleftrightarrow{F} 2\pi \sum_{l=-\infty}^{\infty} \delta(\omega - \omega_0 - 2\pi l)$$

$$x[n] = \sum_{k=\langle N \rangle} a_k e^{j\omega_0 k} \xleftrightarrow{F} \sum_{k=\langle N \rangle} 2\pi a_k \sum_{l=-\infty}^{\infty} \delta(\omega - k\omega_0 - 2\pi l)$$

$$X(e^{j\omega}) = 2\pi \sum_{k=-\infty}^{\infty} a_k \delta(\omega - k\omega_0)$$

6.3 离散时间傅立叶变换的性质

DTFT也有很多与CTFT类似的性质，当然也有某些明显的差别。

通过对DTFT性质的讨论，目的在于揭示信号时域和频域特性之间的关系。

一、周期性

若 $x(n) \leftrightarrow X(e^{j\omega})$ ，则 $X(e^{j(\omega+2\pi)}) = X(e^{j\omega})$

比较：这是与CTFT不同的。

二. 线性:

$$ax_1(n) + bx_2(n) \leftrightarrow aX_1(e^{j\omega}) + bX_2(e^{j\omega})$$

三. 时移与频移:

若 $x(n) \leftrightarrow X(e^{j\omega})$, 则

$$x(n - n_0) \leftrightarrow X(e^{j\omega})e^{-j\omega n_0} \text{ —— 时移特性}$$

$$x(n)e^{j\omega_0 n} \leftrightarrow X(e^{j(\omega - \omega_0)}) \text{ —— 频移特性}$$

四. 时间反转:

$$\text{若 } x(n) \leftrightarrow X(e^{j\omega}), \text{ 则 } x(-n) \leftrightarrow X(e^{-j\omega})$$

五. 共轭对称性

若 $x(n) \leftrightarrow X(e^{j\omega})$, 则 $x^*(n) \leftrightarrow X^*(e^{-j\omega})$

由此可进一步得到以下结论:

1. 若 $x(n)$ 是实信号, 则 $x^*(n) = x(n)$

$\therefore X^*(e^{-j\omega}) = X(e^{j\omega})$, 即 $X^*(e^{j\omega}) = X(e^{-j\omega})$, 因此:

$$\begin{cases} |X(e^{j\omega})| = |X(e^{-j\omega})| \\ \angle X(e^{j\omega}) = -\angle X(e^{-j\omega}) \end{cases} \quad \begin{cases} \operatorname{Re}[X(e^{j\omega})] = \operatorname{Re}[X(e^{-j\omega})] \\ \operatorname{Im}[X(e^{j\omega})] = -\operatorname{Im}[X(e^{-j\omega})] \end{cases}$$

2. 若 $x(n)$ 是实偶信号,

则 $x(n) = x(-n)$, $x^*(n) = x(n)$, $x(-n) \leftrightarrow X(e^{j\omega})$

于是有: $X^*(e^{j\omega}) = X(e^{-j\omega}) = X(e^{j\omega})$

即 $X(e^{j\omega})$ 是实偶函数。

3. 若 $x(n)$ 是实奇信号, 则 $x(n) = -x(-n)$, $x^*(n) = x(n)$ 。

于是有: $X^*(e^{j\omega}) = X(e^{-j\omega}) = -X(e^{j\omega})$, 表明 $X(e^{j\omega})$ 是虚奇函数。

4. 若 $x(n) = x_e(n) + x_o(n)$, 则

$$x_e(n) \leftrightarrow \operatorname{Re}[X(e^{j\omega})] \quad x_o(n) \leftrightarrow j\operatorname{Im}[X(e^{j\omega})]$$

这些结论与连续时间情况下完全一致。

表6.1 离散时间傅里叶变换的对称性

序列	傅里叶变换
$x(n)$	$X(e^{j\omega})$
$x^*(n)$	$X^*(e^{-j\omega})$
$x(-n)$	$X(e^{-j\omega})$
$x^*(-n)$	$X^*(e^{j\omega})$
$\text{Re}[x(n)]$	$X_e(e^{j\omega})$
$j \text{Im}[x(n)]$	$X_o(e^{j\omega})$
$x_e(n)$	$\text{Re}[X(e^{j\omega})]$
$x_o(n)$	$j \text{Im}[X(e^{j\omega})]$

六. 差分与求和:

$$x(n) - x(n-1) \leftrightarrow (1 - e^{-j\omega})X(e^{j\omega})$$

$$\sum_{k=-\infty}^n x(k) \leftrightarrow \frac{1}{1 - e^{-j\omega}} X(e^{j\omega}) + \pi X(e^{j0}) \sum_{-\infty}^{\infty} \delta(\omega - 2\pi k)$$

说明: 在DTFT中 $(1 - e^{-j\omega})$ 对应于CTFT中的 $j\omega$ 。

$$u(n) = \sum_{k=-\infty}^n \delta(k) \quad \delta(n) \leftrightarrow 1 \quad u(n) \leftrightarrow \frac{1}{1 - e^{-j\omega}} + \pi \sum_{k=-\infty}^{\infty} \delta(\omega - 2\pi k)$$

说明: 利用差分特性求序列 $x(n)$ 的傅里叶变换是有条件的, 即需要首先将直流分量提出, 分开处理。

七. 频域微分:

$$nx(n) \leftrightarrow j \frac{dX(e^{j\omega})}{d\omega}$$

八. Parseval定理:

$$\sum_{n=-\infty}^{\infty} |x(n)|^2 = \frac{1}{2\pi} \int_{2\pi} |X(e^{j\omega})|^2 d\omega$$

$|X(e^{j\omega})|^2$ 称为 $x(n)$ 的能量谱密度函数。

比较: 在DFS中, 有 $\frac{1}{N} \sum_{n=\langle N \rangle} |x(n)|^2 = \sum_{k=\langle N \rangle} |a_k|^2$

$|a_k|^2$ 称为周期信号的功率谱。

6.4 卷积定理及其应用

若 $y(n) = x(n) * h(n),$

则 $Y(e^{j\omega}) = X(e^{j\omega})H(e^{j\omega}),$

$H(e^{j\omega})$ 即是系统的频率特性。

说明：该特性提供了对LTI系统进行频域分析的理论基础。

相乘性质

如果 $y(n) = x_1(n) \cdot x_2(n)$,

$$\begin{aligned}\text{则 } Y(e^{j\omega}) &= \frac{1}{2\pi} \int_{2\pi} X_1(e^{j\theta}) X_2(e^{j(\omega-\theta)}) d\theta \\ &= \frac{1}{2\pi} X_1(e^{j\omega}) \otimes X_2(e^{j\omega})\end{aligned}$$

由于 $X_1(e^{j\omega})$ 和 $X_2(e^{j\omega})$ 都是以 2π 为周期的，

因此上述卷积称为**周期卷积**。

$$x(n) = \left[\frac{\sin(\pi n / 2)}{\pi n} \right] \left[\frac{\sin(\pi n / 4)}{\pi n} \right]$$

6.5 离散时间系统的频率响应

对于时间离散的线性非移变（LSI）系统，假设输入序列

$$x(n) = e^{j\omega n}, -\infty < n < \infty$$

输出序列为角频率 ω 的一个复指数

$$y(n) = \sum_{k=-\infty}^{\infty} h(k)e^{j\omega(n-k)} = e^{j\omega n} \sum_{k=-\infty}^{\infty} h(k)e^{-j\omega k}$$

$$H(e^{j\omega}) = \sum_{k=-\infty}^{\infty} h(k)e^{-j\omega k}$$

$H(e^{j\omega})$ 给出了LSI系统对于每个 ω 值得传输性能，因此称其为系统的频率响应。

$$y(n) = e^{j\omega n} \bullet H(e^{j\omega})$$

如果把 $x(n) = e^{j\omega n}, -\infty < n < \infty$ 看成是LSI系统的特征输入，

那么 $H(e^{j\omega})$ 则可看成是特征值，系统的输出即是特征输入被特征值加权所得的结果。

由于 $H(e^{jw})$ 为复数，则可以分解为实部和虚部。

$$H(e^{jw}) = H_R(e^{jw}) + jH_I(e^{jw})$$

或者用振幅和相位表示，即

$$H(e^{jw}) = |H(e^{jw})| e^{j\varphi(w)}$$

$$\varphi(w) = \arg[H(e^{jw})]$$

显然，LSI系统对特征输入的加权分别表现在

幅度 $|H(e^{jw})|$ 与相位 $\varphi(w)$ 上，两者都随频率 w 的变化而变化。

若系统的输入为

$$x(n) = A \cos(w_0 n + \theta) = \frac{A}{2} e^{j\theta} e^{jw_0 n} + \frac{A}{2} e^{-j\theta} e^{-jw_0 n}$$

则

$$y(n) = \frac{A}{2} [H(e^{jw_0}) e^{j\theta} e^{jw_0 n} + H(e^{-jw_0}) e^{-j\theta} e^{-jw_0 n}] = A |H(e^{jw_0})| \cos[w_0 n + \theta + \varphi(w)]$$

系统输出仍为余弦，但幅度被振幅响应加权，相位也受相位响应的影响。

6.6 离散时间系统的频域分析

$$y_{zs}(n) = \sum_{k=-\infty}^{\infty} h(k)x(n-k)$$

$$y_{zs}(n) = IDTFT[H(e^{j\omega})X(e^{j\omega})]$$

例5.13 一LTI系统，其单位脉冲响应为

$$h[n] = a^n u[n], |a| < 1$$

假设该系统的输入是

$$x[n] = \beta^n u[n], |\beta| < 1$$

求 $y[n]$

解： 1、先求 $Y(e^{j\omega}) = H(e^{j\omega})X(e^{j\omega})$

$$\begin{aligned} \because H(e^{j\omega}) &= \sum_{n=-\infty}^{\infty} h[n]e^{-j\omega n} = \sum_{n=-\infty}^{\infty} a^n u[n]e^{-j\omega n} \\ &= \sum_{n=0}^{\infty} a^n e^{-j\omega n} = \frac{1}{1 - ae^{-j\omega}} \end{aligned}$$

同样可得 $X(e^{j\omega}) = \sum_{n=-\infty}^{\infty} x[n]e^{-j\omega n} = \sum_{n=0}^{\infty} \beta^n e^{-j\omega n} = \frac{1}{1 - \beta e^{-j\omega}}$

则有 $Y(e^{j\omega}) = H(e^{j\omega})X(e^{j\omega}) = \frac{1}{(1 - ae^{-j\omega})(1 - \beta e^{-j\omega})}$

2、求 $y[n]$ 最容易的做法是用部分分式将 $Y(e^{j\omega})$ 展开。

1) 若 $a \neq \beta$ (即无重根) 时, 有

$$Y(e^{j\omega}) = \frac{1}{(1-ae^{-j\omega})(1-\beta e^{-j\omega})} = \frac{A}{1-ae^{-j\omega}} + \frac{B}{1-\beta e^{-j\omega}}$$

等式两边同乘 $(1-ae^{-j\omega})$, 并令 $e^{-j\omega} = \frac{1}{a}$, 得 $A = \frac{a}{a-\beta}$

同样若等式两边同乘 $(1-\beta e^{-j\omega})$, 并令 $e^{-j\omega} = \frac{1}{\beta}$, 得 $B = \frac{\beta}{\beta-a}$

因为, $a^n u[n] \xleftrightarrow{F} \frac{1}{1-ae^{-j\omega}}$, $\beta^n u[n] \xleftrightarrow{F} \frac{1}{1-\beta e^{-j\omega}}$

$$\begin{aligned} \text{由此可得, } y[n] &= \frac{a}{a-\beta} a^n u[n] - \frac{\beta}{a-\beta} \beta^n u[n] \\ &= \frac{1}{a-\beta} [a^{n+1} u[n] - \beta^{n+1} u[n]] \end{aligned}$$

2) 若 $a = \beta$, 这时有重根, 即

$$Y(e^{j\omega}) = \frac{1}{(1 - ae^{-j\omega})^2} = \frac{A_{11}}{(1 - ae^{-j\omega})^2} + \frac{A_{12}}{1 - ae^{-j\omega}}$$

等式两边同乘 $(1 - ae^{-j\omega})^2$, 并令 $e^{-j\omega} = 1/a$,

$$\frac{1}{(1 - ae^{-j\omega})^2} (1 - ae^{-j\omega})^2 \Big|_{e^{-j\omega} = 1/a} = A_{11} + A_{12} (1 - ae^{-j\omega}) \Big|_{e^{-j\omega} = 1/a}$$

得 $A_{11} = 1$ 。为了求 A_{12} , 可将上式对 $e^{-j\omega}$ 求一阶导数, 即得 $A_{12} = 0$

$$\text{则有 } (n+1)a^n u[n] \xleftrightarrow{F} Y(e^{j\omega}) = \frac{1}{(1 - ae^{-j\omega})^2}$$

也可用频域微分性来求。即

$$\because \frac{d}{d\omega} \left(\frac{1}{1 - ae^{-j\omega}} \right) = \frac{ae^{-j\omega}(-j)}{(1 - ae^{-j\omega})^2}$$

$$\text{得 } \frac{1}{(1 - ae^{-j\omega})^2} = \frac{1}{ae^{-j\omega}(-j)} \frac{d}{d\omega} \left(\frac{1}{1 - ae^{-j\omega}} \right) = \frac{j}{a} e^{j\omega} \frac{d}{d\omega} \left(\frac{1}{1 - ae^{-j\omega}} \right)$$

其中 $a^n u[n] \xleftrightarrow{F} \frac{1}{1 - ae^{-j\omega}}$

利用微分性可得

$$na^n u[n] \xleftrightarrow{F} j \frac{d}{d\omega} \left(\frac{1}{1 - ae^{-j\omega}} \right)$$

应用时移性质,可得

$$(n+1)a^{n+1}u[n+1] \xleftrightarrow{F} je^{j\omega} \frac{d}{d\omega} \left(\frac{1}{1 - ae^{-j\omega}} \right)$$

考虑到还有 $1/a$ 因子后,得

$$(n+1) \frac{a^{n+1}}{a} u[n+1] \xleftrightarrow{F} j \frac{e^{j\omega}}{a} \frac{d}{d\omega} \left(\frac{1}{1 - ae^{-j\omega}} \right)$$

$$\therefore y[n] = (n+1)a^n u[n+1]$$

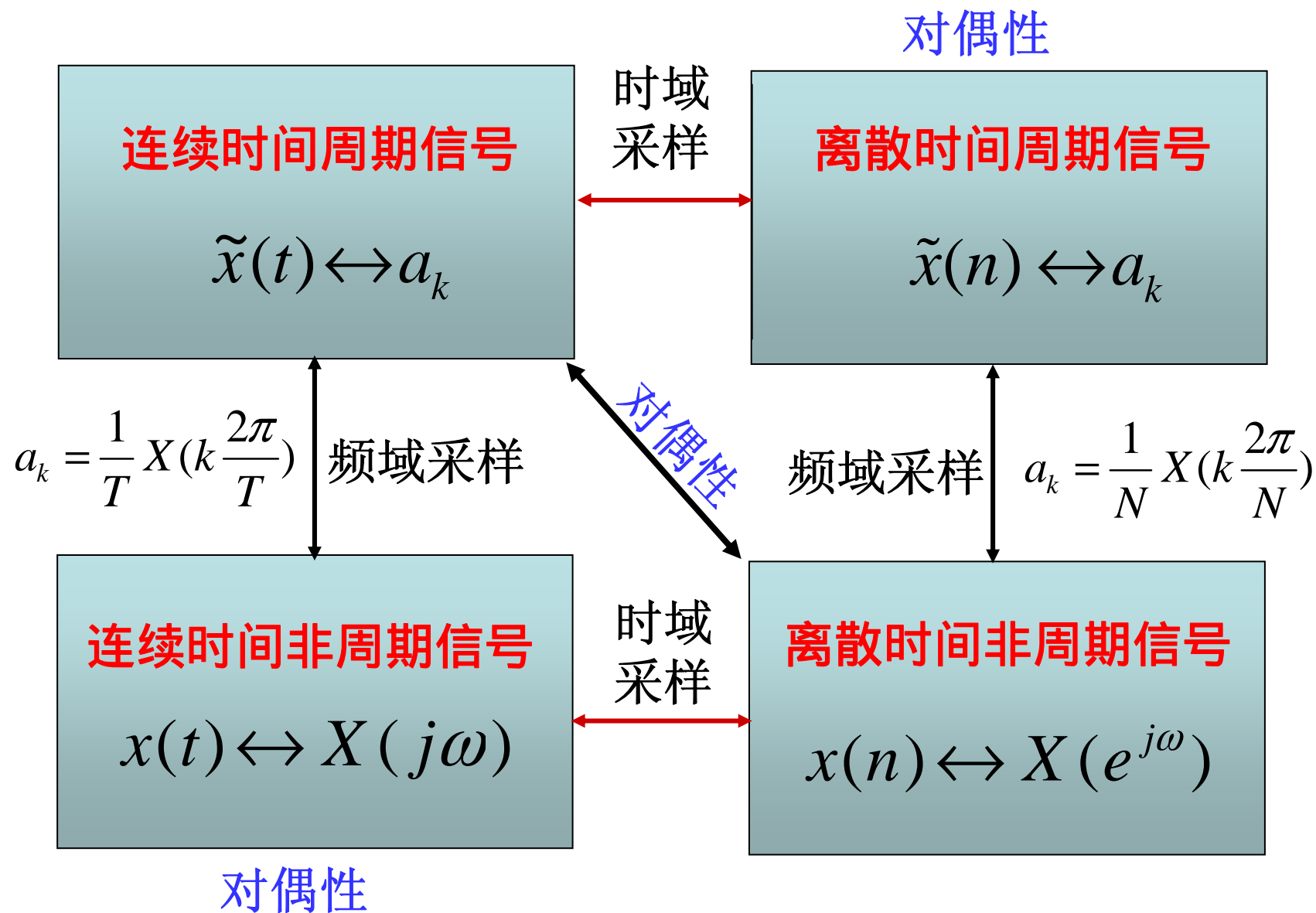
注意到:虽然上式右边乘了一个起始于 $n = -1$ 的阶跃,但在 $n = -1$ 时, $(n+1)=0$ 即

$y[n] = 0$, 所以上式最后可写为 $y[n] = (n+1)a^n u[n]$ 可见结果相同

6.7 对偶性

可以看出：信号在时域的特性和在频域的特性之间存在以下对应关系：

时域的周期性	↔	频域的离散性
时域的离散性	↔	频域的周期性
时域的非周期性	↔	频域的连续性
时域的连续性	↔	频域的非周期性



本章要点

- 离散时间非周期序列的傅立叶变换（**DTFT**）与反变换
- 离散时间系统的频域分析

作业

- Problems : 6.3(a);6.4(a,b);6.6;6.7(a,c,d)
-